

mettefaghi@qom.ac.ir :

(دریافت مقاله: ۱۳۸۹/۴/۱۳؛ دریافت نسخه نهایی: ۱۳۹۰/۱/۲۴)

QED

QED

$\frac{\pi}{2}$

ناجابه‌جایی و  $\theta_{\mu\nu}$  ماتریسی حقیقی، ثابت و پادمتقارن است.

برای ساختن نظریه میدان ناجابه‌جایی، طبق تناظر ویل-مویال اگر ضرب‌های معمولی با ضرب ستاره‌ای که به شکل زیر تعریف می‌شود، جایگزین شوند می‌توان یکتابع معمولی را به جای تابع متناظرش در فضای ناجابه‌جایی استفاده کرد:

$$f(x) * g(x) = f(x) \exp\left(\frac{i}{\epsilon} \bar{\partial}_\mu \theta^{\mu\nu} \bar{\partial}_\nu\right) g(x). \quad (2)$$

بر اساس این تناظر، علاوه بر تصحیح برهم‌کنش ذرات باردار، یک ذره خنثی نیز در فضای ناجابه‌جایی می‌تواند با میدان پیمانه‌ای گروه  $U(1)$  در نمایش همیووغ جفت شود. برخی از اثرهای این جفت‌شدگی جدید در مقاله‌های [۶-۲] بررسی شده است. نوترینوها نیز به عنوان ذرات خنثی می‌توانند با فوتون در

به علت انگیزه‌هایی که به طور عمده از نظریه ریسمان سرچشمه می‌گیرند [۱]، نظریه میدان در فضای ناجابه‌جایی در سال‌های اخیر به شدت مورد توجه قرار گرفته است. مقالات [۱۲-۲] نمونه‌ای از صدھا مقاله در این زمینه است. در نظریه‌های میدان ناجابه‌جایی مختصات فضا-زمان به صورت عملگرهاست در نظر گرفته می‌شوند که از جبر جابه‌جایی تبعیت نمی‌کنند. به عنوان مثال در نسخه کانونیک فضا-زمان ناجابه‌جایی، مختصات از رابطه زیر پیروی می‌کنند:

$$[\hat{x}_\mu, \hat{x}_\nu] = i\theta_{\mu\nu}, \quad (1)$$

به طوری که علامت کلاه نشان‌دهنده مختصات در فضا-زمان

پراکندگی نوتريینو میونی از روی الکترون قطبیده در فضا-زمان ناجابه جایی اختصاص داده شده است. سرانجام در بخش پایانی مقاله یک جمع‌بندی از نتایج حاصل ارایه خواهیم داد.

### QED

در نظریه‌های پیمانه‌ای برای حفظ تقارن پیمانه‌ای، باید مشتق‌های معمولی در لاغرانژی را با مشتق هموردا به شکل:  $D_\mu \psi = \partial_\mu \psi - ie A_\mu \psi$  جایگزین کنیم، که در آن  $e$  و  $A_\mu$  به ترتیب ضرب جفت شدگی، میدان پیمانه‌ای و میدان مادی را نشان می‌دهند. در فضا-زمان ناجابه جایی که ضرب معمولی بین توابع وجود دارد، ترتیب نوشتن  $A_\mu$  و  $\psi$  در نظره پیمانه‌ای  $(1)$  مهم نیست. در حالی که در فضا-زمان ناجابه جایی که در آن ضرب ستاره جایگزین ضرب معمولی می‌شود سه امکان برای آن وجود دارد:  $\psi^* A_\mu$ ،  $e \psi^* A_\mu$  و  $\psi^* A_\mu - \psi^* e(A_\mu)$ . می‌توان نشان داد که دو جمله اول مزدوج بار یکدیگرند اما جمله سوم مزدوج بار خودش است [۱۱]. بنابراین برای یک ذره خنثی یک جفت شدگی سومی وجود دارد که مشتق هموردا برای آن به شکل زیر تعریف می‌شود:

$$\hat{D}_\mu \hat{\psi} = \partial_\mu \hat{\psi} - ie(\hat{A}_\mu * \hat{\psi} - \hat{\psi} * \hat{A}_\mu), \quad (3)$$

علامت کلاه اشاره می‌کند که این میدان‌ها در فضا-زمان ناجابه جایی تعریف شده‌اند. لذا میدان‌های فرمیونی خنثی در چارچوب QED ناجابه جایی می‌توانند با فوتون جفت شوند. کنش مربوط به چنین نظریه‌هایی به شکل زیر خواهد بود:

$$S = \int d^4x (\bar{\psi} * i \gamma^\mu \hat{D}_\mu \hat{\psi} - m \bar{\psi} * \hat{\psi}). \quad (4)$$

با استفاده از نگاشتهای سایبرگ-ویتن می‌توان میدان‌های ناجابه جایی را بر اساس میدان‌های معمولی نوشت. این نگاشتهای در مورد میدان‌های فرمیونی و پیمانه‌ای در نظریه  $(1)$  تا مرتبه اول  $\theta$  به قرار زیر خواهند بود [۹]:

$$\hat{\psi} = \psi + \theta^{\mu\nu} A_\nu \partial_\mu \psi, \quad (5)$$

$$\hat{A}_\mu = A_\mu + e \theta^{\nu\rho} A_\rho [\partial_\nu A_\mu - \frac{1}{2} \partial_\mu A_\nu]. \quad (6)$$

پس از استفاده از نگاشتهای سایبرگ-ویتن بالا و بسط دادن

نظریه QED در فضای ناجابه جایی به طور مستقیم جفت شوند [۳]. لازم به ذکر است که این جفت شدگی جدید برای نوتريینوهای چپ دست، در مدل استاندارد ناجابه جایی‌ای که بر مبنای گروه تقارن پیمانه‌ای  $(1) \times U(2) \times U(3)$  نوشته شده است [۷]، وجود دارد در حالی که در مدل استاندارد ناجابه جایی‌ای که بر مبنای گروه تقارن پیمانه‌ای  $(1) \times U(2) \times SU(3)$  نوشته شده [۸]، وجود ندارد [۴].

در فضا-زمان عادی نوتريینوها از طریق تصحیحات کوانتمی در صورتی که جرم دار باشند، می‌توانند با فوتون جفت شوند. مطالعه ویژگی‌های الکترومغناطیسی نوتريینوها در فیزیک ناشناخته آنها از اهمیت زیادی برخوردار است. یکی از مهم‌ترین فرآیندهایی که می‌توان با آن این نوع ویژگی‌های نوتريینو را مطالعه کرد، فرآیند پراکندگی الکترون-نوتريینو است. چه الکترون‌های هدف قطبیده باشند و چه نباشند، سهم مربوط به ممان مغناطیسی نوتريینوها متناسب با  $\frac{1}{T}$  (  $T$  انرژی پس زنی الکترون است ) است. اگر الکترون‌های هدف را قطبیده در نظر بگیریم، در فضای عادی به ازای بعضی از مقادیر زاویه پراکندگی سهم ناشی از قطبش، سهم اصلی ناشی از برهمنش‌های الکتروضعیف را کم رنگ می‌کند. به این ترتیب سهم مربوط به ممان مغناطیسی نوتريینو که هیچ تصحیحی ناشی از قطبش الکترون نمی‌پذیرد، اثر خود را بهتر نشان می‌دهد [۱۳]. حد بالایی که برای ممان مغناطیسی نوتريینو از طریق پراکندگی غیر قطبیده به دست می‌آید، از مرتبه  $\mu_B^{-10}$  ( $\mu_B$  مغناطش بور است) است و از طریق پراکندگی قطبیده از مرتبه  $\mu_B^{-13}$  است.

سهم QED ناجابه جایی در پراکندگی نوتريینو از روی الکترون غیر قطبیده مشابه سهم مربوط به ممان مغناطیسی نوتريینو است: یعنی با  $\frac{1}{T}$  متناسب است [۱۰]. در این مقاله ما سهم QED ناجابه جایی در پراکندگی نوتريینو میونی از روی الکترون قطبیده را بررسی خواهیم کرد. بخش‌های مختلف مقاله به این شکل دسته‌بندی شده‌اند: در بخش بعد به طور خلاصه QED ناجابه جایی را برای ذرات خنثی مرور خواهیم کرد. بخش سوم به محاسبه سطح مقطع پراکندگی دیفرانسیلی برای

دارد که از طریق مبادله فوتون رخ می دهد (شکل ۱).

اگر دامنه پراکندگی نمودار اول را با  $M_C$  و دامنه پراکندگی نمودار جدید را با  $M_{NC}$  نشان دهیم دامنه پراکندگی برای هر نمودار به شکل زیر است:

$$M_C = \frac{g^r}{\lambda m_Z^r \cos^r \theta_W} [\bar{u}(p') \gamma_\alpha (g_V - g_A \gamma_5) u(p)] \times [\bar{u}(k') \gamma_\alpha (1 - \gamma_5) u(k)], \quad (11)$$

$$M_C = \frac{-ie^r}{(k' - k)^r} [\bar{u}(p') \gamma_\mu u(p)] \times [\bar{u}(k') (\theta^{\mu\nu} k_\nu \gamma^\rho q_\rho + \vec{\theta} \cdot (\vec{k} \times \vec{k}') \gamma^\mu + \theta^{\rho\mu} q_\rho \gamma^\nu k_\nu) (1 - \gamma_5) u(k)], \quad (12)$$

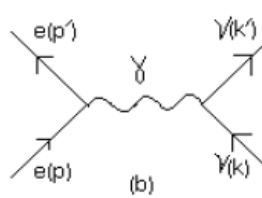
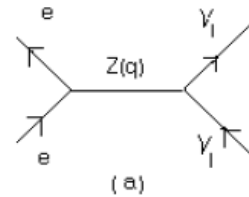
که در آن  $g = g_V = 2 \sin^r \theta_W - \frac{1}{2} g_A$  به ترتیب

ثابت های جفت شدگی ضعیف، برداری و شبه برداری اند. به علاوه  $u$  و  $\bar{u}$  نماینده اسپینور و پاد اسپینور های ذرات شرکت کننده در برهم کنند.  $\theta_W$  زاویه اختلاط ضعیف و  $m_Z$  جرم بوزون  $Z$  را نشان می دهند. بردار  $\vec{\theta} = (\theta_{23}, \theta_{31}, \theta_{12})$  تعریف می شود. همچنین از اتحاد  $\theta^{\mu\nu} k_\mu k'_\nu = \vec{\theta} \cdot \vec{k} \times \vec{k}'$  در طی محاسبات استفاده شده است. لازم به ذکر است که در هر دو مدل استاندارد ناجابه جایی، مراجع [۷ و ۸]، رأس  $Z^0$  با الکترون و  $Z^0$  با نوترینو تصحیحاتی ناشی از ناجابه جا بودن فضازمان می پذیرند اما چون مرتبه این تصحیحات در سطح مقطع به صورت  $\theta^{\mu\nu} G_F$  ( ثابت فرمی است) است و از مرتبه سهم ناشی از دیاگرام های در نظر گرفته شده کوچکتر است، از آنها صرف نظر شده است.

برای محاسبه سطح مقطع دیفرانسیلی در گام اول باید مجذور دامنه پراکندگی کل را حساب کنیم:

$$M_{tot}^r = M_C^r + M_C M_{NC}^* + M_{NC} M_C^* + M_{NC}^r. \quad (13)$$

به علت اینکه ما به دنبال سطح مقطع دیفرانسیلی پراکندگی در فضای ناجابه جایی تا مرتبه اول هستیم، از جمله آخر در رابطه (۱۳) صرف نظر می کنیم. جمله اول سهم سطح مقطع در فضای ناجابه جایی را خواهد داد و دو جمله بعدی شامل تصحیحات ناجابه جایی تا مرتبه اول می باشند. برای محاسبه مجذور دامنه پراکندگی، باید توجه کرد که برای ذره قطبیده داریم:



شکل ۱. نمودارهای درختی پراکندگی نوترینو میونی از روی الکترون در فضا- زمان ناجابه جایی.

ضرب ستاره تا اولین مرتبه  $\theta$ ، کنش ذرات خنثی در نظریه QED ناجابه جایی به قرار زیر خواهد بود [۳]:

$$S = \int d^4x \bar{\psi} ((i\gamma^\mu \partial_\mu - m) - \frac{e}{\lambda} \theta^{\nu\rho} [i\gamma^\mu (F_{\nu\rho} \partial_\mu + F_{\mu\nu} \partial_\rho + F_{\rho\mu} \partial_\nu) - m F_{\mu\rho}]) \psi, \quad (V)$$

که در آن  $F_{\mu\rho}$  به صورت زیر است:

$$F_{\mu\rho} = \partial_\mu A_\rho - \partial_\rho A_\mu. \quad (A)$$

به این ترتیب عامل رأس فوتون- نوترینو در فضای ناجابه جایی به شکل زیر به دست خواهد آمد:

$$\Gamma^\mu (v \bar{v} \gamma) = -\theta^{\mu\nu\rho} \left( \frac{1 - \gamma_5}{2} \right) k_\nu q_\rho, \quad (9)$$

به طوری که:

$$\theta^{\mu\nu\rho} = \theta^{\mu\nu} \gamma^\rho + \theta^{\nu\rho} \gamma^\mu + \theta^{\rho\mu} \gamma^\nu. \quad (10)$$

در بخش بعد با استفاده از این قاعده فاینمن به محاسبه سطح مقطع پراکندگی نوترینو از روی الکترون قطبیده می پردازیم.

در فضا- زمان عادی پراکندگی نوترینو میونی از الکترون تنها از طریق مبادله بوزون خنثی  $Z^0$  امکان پذیر است. ولی وقتی جفت شدگی فوتون- نوترینو در فضای ناجابه جایی را در نظر می گیریم، در حد نمودارهای درختی یک نمودار جدید وجود

و

$$\begin{aligned} M_C M_{NC}^* + M_{NC} M_C^* &= \frac{-ie^\gamma g^\gamma}{m_Z^\gamma \cos^\gamma \theta_W} \frac{\vec{\theta} \cdot (\vec{k} \times \vec{k}')}{(k' - k)^\gamma} \\ &\times m_e g_A (S_{e\alpha} p_\beta - p_\alpha S_{e\beta} + g_{\alpha\beta} (S_e \cdot p)) \\ &\times (k^\alpha k'^\beta - g^{\alpha\beta} (k \cdot k') + k^\beta k'^\alpha + i k_\mu k'_\rho \epsilon^{\alpha\mu\beta\rho}). \end{aligned} \quad (18)$$

چاربردار قطبش  $S_\mu$  که یک بردار فضائگونه است و در چارچوب ساکن نسبت به الکترون به صورت  $(\circ, \hat{\eta}_e)$  است. دستگاه مختصات را طوری در نظر می‌گیریم که تکانهٔ نوترینو فرودی  $k$  در راستای محور  $Y$ ,  $\eta_e^\perp$  (مولفه‌ای از  $\hat{\eta}_e$  که در راستای عمود بر تکانهٔ نوترینو فرودی است) در راستای محور  $Z$  و  $\eta_e^\perp \times \vec{k}$  در راستای  $X$  باشد.

مطابق با دستگاه مختصات نشان داده شده در شکل ۲ داریم:

$$\hat{\eta}_e = (\cos \delta \cos \gamma, \sin \delta \cos \gamma, \sin \gamma), \quad (19)$$

$$p = (m_e, \circ, \circ, \circ), \quad (20)$$

$$k = (E_\nu, \circ, E_\nu, \circ), \quad (21)$$

$$\begin{aligned} p' &= (T + m_e, |\vec{p}'| \sin \theta_{e'} \sin \varphi_{e'}, \\ &|\vec{p}'| \cos \theta_{e'}, |\vec{p}'| \sin \theta_{e'} \cos \varphi_{e'}), \end{aligned} \quad (22)$$

$$\begin{aligned} p' &= (E_\nu - T, -|\vec{p}'| \sin \theta_{e'} \sin \varphi_{e'}, \\ &E_\nu - |\vec{p}'| \cos \theta_{e'}, -|\vec{p}'| \sin \theta_{e'} \cos \varphi_{e'}), \end{aligned} \quad (23)$$

$$S_e = (\circ, \hat{\eta}_e), \quad (24)$$

که در آن:

$$|\vec{p}'| = \sqrt{T^\gamma + 2Tm_e} = E_\nu \sqrt{y^\gamma + 2y \frac{m_e}{E_\nu}}, \quad (25)$$

است.

بنابراین:

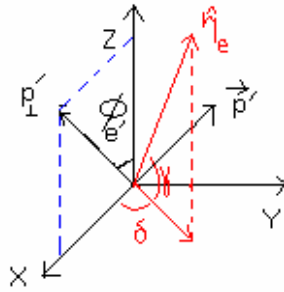
$$S_e \cdot k = -E_\nu (\hat{\eta}_e \cdot \hat{k}), \quad (26)$$

$$S_e \cdot k' = -(E_\nu - T) (\hat{\eta}_e \cdot \hat{k}'), \quad (27)$$

$$S_e \cdot p = \circ, \quad (28)$$

$$S_e \cdot p' = -\sqrt{T^\gamma + 2Tm_e} (\hat{\eta}_e \cdot \hat{p}'). \quad (29)$$

چون فرض ما این است که تنها مولفه  $Z$  اسپین الکترون اولیه مشخص است، روی زاویه  $\delta$ ، که در شکل ۲ نشان داده شده است، از  $0$  تا  $2\pi$  انتگرال خواهیم گرفت. بنابراین  $(\hat{\eta}_e \cdot \hat{k}) = \sin \delta \cos \gamma$  پس از انتگرال‌گیری روی  $\delta$  صفر می‌شود. به راحتی و با استفاده از قانون بقای تکانه می‌توان دید:



شکل ۲. دستگاه مختصات انتخابی برای محاسبه سطح مقطع پراکندگی نوترینو از روی الکترون قطبیده.

$$\sum_{r=1,2} u_r(p) \bar{u}_r(p) = (1 + \gamma_5 S_e^\mu \gamma_\mu) (p^\rho \gamma_\rho + m_e), \quad (14)$$

که در آن  $S_e^\mu$  چاربردار قطبش است. در پراکندگی مورد بحث تنها قطبش الکترون اولیه مشخص است. به این ترتیب سهم مربوط به فضای جایه‌جایی به صورت زیر داده می‌شود:

$$\begin{aligned} |M_C|^2 &= \frac{G_F}{4} \text{Tr}(\gamma_\alpha (g_V - g_A \gamma_5) (1 + \gamma_5 S_e^\mu \gamma_\mu) \\ &\times (p^\rho \gamma_\rho + m_e) (g_V + g_A \gamma_5) \gamma_\beta (p'^\delta \gamma_\delta + m_e)) \\ &\times \text{Tr}(\gamma^\alpha (1 - \gamma_5) k_\mu \gamma^\mu (1 + \gamma_5) \gamma^\beta k'_\rho \gamma^\rho), \end{aligned} \quad (15)$$

و سهم مربوط به فضای ناجایه‌جایی به صورت زیر داده می‌شود:

$$\begin{aligned} M_C M_{NC}^* + M_{NC} M_C^* &= \frac{i e^\gamma g^\gamma}{2 \pi m_Z^\gamma \cos^\gamma \theta_W} \frac{\vec{\theta} \cdot (\vec{k} \times \vec{k}')}{(k' - k)^\gamma} \\ &\times \{ \text{Tr}(\gamma_\alpha (g_V - g_A \gamma_5) (1 + \gamma_5 S_e^\mu \gamma_\mu) \\ &\times (p^\rho \gamma_\rho + m_e) \gamma_\beta (p'^\delta \gamma_\delta + m_e)) \\ &- \text{Tr}(\gamma_\alpha (1 + \gamma_5 S_e^\mu \gamma_\mu) (p^\rho \gamma_\rho + m_e) \\ &\times (g_V + g_A \gamma_5) \gamma_\beta (p'^\delta \gamma_\delta + m_e)) \} \\ &\times \text{Tr}(\gamma^\alpha (1 - \gamma_5) k_\mu \gamma^\mu (1 + \gamma_5) \gamma^\beta k'_\rho \gamma^\rho) \end{aligned} \quad (16)$$

بعد از عمل ردگیری، سهم فضای جایه‌جایی و ناجایه‌جایی به ترتیب به صورت زیر در می‌آیند:

$$\begin{aligned} |M_C|^2 &= 16 G_F^2 \{ g_V^2 ((p \cdot k)(p' \cdot k') + (p \cdot k')(p' \cdot k)) \\ &- m_e^2 (k \cdot k') + m_e (S_e \cdot k)(p \cdot k') - m_e (S_e \cdot k')(p \cdot k) \\ &- m_e (S_e \cdot k)(p' \cdot k') + m_e (S_e \cdot k')(p' \cdot k)) \\ &+ 2g_V g_A ((p \cdot k)(p' \cdot k') - (p \cdot k')(p' \cdot k)) \\ &- m_e (S_e \cdot k)(p' \cdot k') + m_e (S_e \cdot k')(p' \cdot k)) \\ &+ g_A^2 ((p \cdot k)(p' \cdot k') + (p \cdot k')(p' \cdot k) + m_e^2 (k \cdot k')) \\ &- m_e (S_e \cdot k)(p \cdot k') + m_e (S_e \cdot k')(p \cdot k)) \\ &- m_e (S_e \cdot k)(p' \cdot k') + m_e (S_e \cdot k')(p' \cdot k)) \}, \end{aligned} \quad (17)$$

برای محاسبه سطح مقطع پراکندگی دیفرانسیلی  $\frac{d\sigma}{dyd\varphi_{e'}}$  در چارچوب ساکن الکترون فرودی، کافی است رابطه (۳۱) و (۳۳) را در فرمول زیر قرار دهیم:

$$\frac{d\sigma}{dyd\varphi_{e'}} = \frac{1}{64\pi^2 m_e E_V} \times \left| M_C(\cos\theta_{e'}) = \frac{y + \frac{m_e}{E_V} y}{\sqrt{y^2 + 2y \frac{m_e}{E_V}}} \right|^2 \quad (34)$$

به این ترتیب سطح مقطع پراکندگی دیفرانسیلی برای پراکندگی نوتريینو ميونی از روی الکترون قطبیده در فضا- زمان ناجابه جايی به شکل زیر در می آید:

$$\begin{aligned} \frac{d^2\sigma}{dyd\varphi_{e'}} &= \frac{G_F^2 m_e E_V}{4\pi^2} \{ [(g_V^2 + g_A^2)(2 + y^2 - 2y) \\ &- (g_V^2 - g_A^2)y \frac{m_e}{E_V} + 2g_V g_A y(2 - y)] \\ &+ \left| \eta_e^\perp \right| \sqrt{y \frac{m_e}{E_V} (2 - y(2 + \frac{m_e}{E_V}))} \cos\varphi_{e'} [-yg_V^2 \\ &+ (2 - y)g_A^2 + 2g_V g_A(y - 1)] \} \\ &+ \frac{g_A e^2 \theta G_F}{4\sqrt{2}\pi^2} m_e E_V \sin^2 \varphi_{e'} \sin\lambda \eta_e^\perp \\ &\times (2 - \frac{m_e}{E_V} y - 2y). \end{aligned} \quad (35)$$

نکاتی که در مورد سهم ناشی از فضا- زمان ناجابه جايی طبق رابطه (۳۵) باید مورد توجه قرار گیرند، به قرار زیر هستند:  
۱. جمله قطبی که مستقل از فضا- زمان ناجابه جايی است به علت نوع واپشتگی اش نسبت به زاویه پراکندگی، می تواند هم اثرهای سازنده به ازای  $\cos\varphi_{e'}$  و هم اثرهای ویرانگر به ازای  $\cos\varphi_{e'}$  داشته باشد. از این خاصیت برای تعیین حد بهتر برای دو قطبی مغناطیسی نوتريینو استفاده شده است زیرا جمله ناشی از دو قطبی مغناطیسی سهم قطبی ندارد [۱۳]. اما از رابطه اخیر دیده می شود که

سهم قطبی ناشی از فضا- زمان ناجابه جايی به اندازه  $\frac{\pi}{2}$  با سهم ناشی از فضا- زمان عادی اختلاف فاز دارد و برای همه زاویه های پراکندگی مثبت است. به عبارت دیگر به ازای زاویه هایی که سهم قطبش فضا- زمان عادی چه سازنده و

$$\begin{aligned} (\hat{\eta}_e \cdot \hat{k}') &= -\frac{\sqrt{T^2 + 2Tm_e}}{E_V - T} (\hat{\eta}_e \cdot \hat{p}') \\ &= -\sqrt{y^2 + 2y \frac{m_e}{E_V}} (\hat{\eta}_e \cdot \hat{p}'), \end{aligned} \quad (36)$$

که  $y$  است و  $T$  انرژی جنبشی الکترون پس زده شده و  $E_V$  انرژی نوتريینو فرودی را نشان می دهد.  
با استفاده از روابط بالا، مجدور دامنه پراکندگی برای فضای جابه جايی به شکل زیر در می آید [۱۴]:

$$\begin{aligned} M_C(\cos\theta_{e'}) &= \frac{y + \frac{m_e}{E_V} y}{\sqrt{y^2 + 2y \frac{m_e}{E_V}}} = \\ &= 64 \frac{G_F^2}{4} (m_e E_V) (g_V^2 (2 + y^2 \\ &- y(\frac{m_e}{E_V} + 2)\sqrt{y^2} \sqrt{y + 2 \frac{m_e}{E_V} (\hat{\eta}_e \cdot \hat{p}')})) \\ &+ g_A^2 (2 + y \frac{m_e}{E_V} + y(y - 2) \\ &+ (2 - y)\sqrt{y} \sqrt{y + 2 \frac{m_e}{E_V} (\hat{\eta}_e \cdot \hat{p}')})) \\ &+ 2g_V g_A (y(2 - y) \\ &+ (y - 1)\sqrt{y} \sqrt{y + 2 \frac{m_e}{E_V} (\hat{\eta}_e \cdot \hat{p}')}), \end{aligned} \quad (37)$$

و برای سهم تصحیحات ناجابه جايی داریم:

$$M_C M_{NC}^* + M_{NC} M_C^* = \frac{2e^2 g^2}{m_Z^2 \cos^2 \theta_W} \frac{\bar{\theta} \cdot (\vec{k} \times \vec{k}')}{(k' - k)^2} \quad (38)$$

$$\times m_e g_A (S_{e\alpha} p_\beta - p_\alpha S_{e\beta}) k_\mu k'_\rho \epsilon^{\alpha\mu\beta\rho}.$$

با توجه به جهت گیری های انتخاب شده و انتخاب  $\bar{\theta} = (\theta \cos\lambda, \theta \sin\lambda)$  که زاویه بین بردار ناجابه جايی و محور  $y$  می باشد، می توان سهم ناجابه جايی را به صورت زیر ساده تر کرد:

$$\begin{aligned} M_C M_{NC}^* + M_{NC} M_C^* &= \frac{4e^2 g^2 m_e g_A}{m_Z^2 \cos^2 \theta_W} \\ &\times \frac{\theta E_V \sin^2 \theta_{e'} \sin^2 \varphi_{e'} \sin\lambda \eta_e^\perp}{2y} E_V^2 (y^2 + 2y \frac{m_e}{E_V}). \end{aligned} \quad (39)$$

الکترووضعیف مقایسه می‌شود. لذا حدی که از این طریق بر روی این کمیت به دست می‌آید (از مرتبه  $\mu_B^{10-10}$ ) در مقایسه با مقدار نظری آن (از مرتبه  $\mu_B^{10-19}$ ) بسیار بزرگ‌تر است و از این رو تلاش می‌شود که سهم الکترووضعیف را کم رنگ‌تر کنند. اگر الکترون‌های اولیه قطبیده باشند، به ازای بعضی از مقادیر زاویه پراکندگی، جملات ناشی از قطبش در سطح مقطع پراکندگی باعث کاهیدگی جملات غیر قطبیده می‌شود. این در حالی است که به جملات ناشی از ممان مغناطیسی نوترینو هیچ تصحیحی به خاطر قطبش الکترون اولیه اضافه نمی‌شود. بنابراین مطالعه ممان مغناطیسی نوترینو با استفاده از پراکندگی نوترینو از روی الکترون قطبیده منجر به حد قوی‌تری بر روی این کمیت نسبت به مورد غیر قطبیده می‌شود (از مرتبه  $\mu_B^{10-13}$ ). از طرفی در فضای زمان ناجابه‌جایی، نوترینوها به عنوان ذراتی که از نظر الکتریکی خشی هستند در QED ناجابه‌جایی با فوتون جفت می‌شوند. در این مقاله ما تصحیحات ناشی از QED ناجابه‌جایی بر روی سطح مقطع پراکندگی نوترینو می‌ونمی از روی الکترون قطبیده را حساب کرده‌ایم. این تصحیحات متناسب با قطبش الکترون و از مرتبه اول نسبت به پارامتر ناجابه‌جایی است. از نظر وابستگی نسبت به زاویه پراکندگی، تصحیحات ناشی از ناجابه‌جایی دارای اختلاف فاز  $\frac{\pi}{2}$  با جملات ناشی از قطبش در فضای عادی است. لذا به ازای مقادیری از زاویه پراکندگی که سهم الکترووضعیف کاهیده شده است، سهم ناجابه‌جایی هم صفر می‌شود. بنابراین حد  $\mu_B^{10-13}$  همچنان برای ممان مغناطیسی نوترینو صحیح است. نکته دیگر که از این محاسبه قابل توجه است، این است که سهم ناجابه‌جایی به زاویه بین بردار  $\bar{\theta}$  و راستای نوترینوی فردی بستگی دارد. به این ترتیب یک جهت مرجع که همان بردار  $\bar{\theta}$  است، در فضای مشخص می‌شود.

چه ویرانگر بیشینه است، سهم قطبشی ناشی از فضا زمان ناجابه‌جایی صفر است و بر عکس. بنابراین سهم ناجابه‌جایی باعث جبران کاهیدگی فوق نمی‌شود و همچنان می‌توان با استفاده از پراکندگی نوترینوی میونی از روی الکترون قطبیده حد قوی‌تری در مقایسه با مورد غیر قطبیده بر روی ممان مغناطیسی نوترینو به دست آورد. ولی باید به این نکته توجه کرد که به ازای مقادیری از زاویه پراکندگی که سهم ناجابه‌جایی بیشینه است، قسمت قطبیده سهم الکترووضعیف صفر است. بنابراین سهم ناجابه‌جایی با سهم غیر قطبیده الکترووضعیف با هم حضور دارند. در صورتی که مقیاس ناجابه‌جایی از مرتبه مقیاس الکترووضعیف باشد، سهم قطبیده ناجابه‌جایی از مرتبه سهم غیر قطبیده الکترووضعیف خواهد بود.

۲. جمله قطبشی فضای زمان ناجابه‌جایی وابسته به زاویه بین بردار ناجابه‌جایی و بردار تکانه نوترینوی ورودی است. لذا با تابش نوترینو به الکترون قطبیده در بعضی جهات می‌توان اثر ناجابه‌جا بودن فضای زمان را دید و در بعضی جهات دیگر این اثر دیده نمی‌شود (البته اگر پارامتر ناجابه‌جایی به قدر کافی بزرگ باشد). این موضوع از دو جهت قابل اهمیت است: یکی تشخیص دادن سهم ناجابه‌جایی و دیگر تعیین جهت بردار ناجابه‌جایی که به نوعی نماینده نقض تقارن لورنتس است [۱۲].

بررسی ممان مغناطیسی نوترینوها یکی مسائل مهم در فیزیک نوترینوها است. یکی از فرآیندهایی که در آن اثرات ممان مغناطیسی نوترینو به خوبی نمایان است، پراکندگی نوترینو از روی الکترون است. اگر الکترون هدف غیر قطبیده باشد، سهم ممان مغناطیسی نوترینو باید با سهم ناشی از برهم‌کنش‌های

115007.

3. P Schupp, J Trampetic, J Wess and G Raffelt, *Eur. Phys. J. C* **36** (2004) 405.
4. M Haghigat, M M Ettefaghi and M Zeinali, *Phys.*

1. M R Douglas and N A Nekrasov, *Rev. Mod. Phys.* **73** (2002) 977.
2. H Grosse, and Y Liao, *Phys. Lett. B* **520** (2001) 63; H Grosse, and Y Liao, *Phys. Rev. D* **64** (2001)

- Schupp and J Wess, *Eur. Phys. J. C* **17** (2000) 521; B Jurčo, L Möller, S Schraml, P Schupp and J Wess, *Eur. Phys. J. C* **21** (2001) 383; L. Möller, *JHEP* **10** (2004) 063.
10. M M Ettefaghi and T Shakouri, *JHEP* **11** (2010) 131.
11. M M Sheikh-Jabbari, *Phys. Rev. Lett.* **84** (2000) 5265.
12. S M Carroll, J A Harvey, V A Kostelecky, C D Lane, T. Okamoto, *Phys. Rev. Lett.* **87** (2001) 141601.
13. T I Rashba and V B Semikoz, *Phys. Lett. B* **479** (2000) 218.
14. S Ciechanowicz, W Sobk'ow and M Misiaszek, *Phys. Rev. D* **71** (2005) 093006.
- Rev. D* **73** (2006) 013007.
5. M Ettefaghi, and M Haghigat, *Phys. Rev. D* **77** (2008) 056009.
6. M M Ettefaghi, *Phys. Rev. D* **79** (2009) 065022; M Haghigat, *Phys. Rev. D* **79** (2009) 025011.
7. M Chaichian, P Presnajder, M M Sheikh-Jabbari and A Tureanu, *Eur. Phys. J. C* **29** (2003) 413.
8. X Calmet, B Jurčo, P Schupp, J Wess and M Wohlgenannt, *Eur. Phys. J. C* **23** (2002) 363; B Melic, K Passek-Kumerivczi, J Trampetic, P Schupp and M Wohlgenannt, *Eur. Phys. J. C* **42** (2005) 483.
9. J Madore, S Schraml, P Schupp and J Wess, *Eur. Phys. J. C* **16** (2000) 161; B Jurčo, S Schraml, P